

スピントロニクスとは

佐藤 勝昭

東京農工大学



スピントロニクス、磁気抵抗効果、スピントロニクス

1. スピントロニクスとは何か⁽¹⁾

電子のもつ二つの性質である電荷と спинの両者を利用するエレクトロニクスの分野を「スピントロニクス」と呼ぶ。スピントロニクスの研究は1950年代から行われていた。強磁性体の異方性磁気抵抗効果、異常ホール効果、キュリー温度付近のスピントロニクス無秩序散乱などがその例である。しかし、当時の技術では、人工的に材料を作つてスピントロニクスを制御することはできなかった。スピントロニクスの相互作用を積極的に制御しようという試みは1960年代に始まった。さらにナノテクノロジーが進展して初めて、スピントロニクス研究が本格化した。

2. スピントロニクスの歴史的経緯

2.1 電気輸送と磁気の関係

強磁性金属や合金において電気輸送に磁性がもたらす影響については1960年代から知られ、理論的考察もされていた。例えば、Niのキュリー温度直下で電気抵抗の温度係数が増大する現象は、Fertらによってスピントロニクス2流体モデルとスピントロニクス散乱で説明されていた⁽²⁾。パーマロイなど強磁性体のAMR（異方性磁気抵抗効果）や異常ホール効果も1950年代から知られていた⁽³⁾。

スピントロニクスの草分けは1960年代に始まった磁性半導体の研究である⁽⁴⁾。スピネル系カルコゲナイト(CdCr₂Se₄など)やユーロピウムカルコゲナイト系(EuSなど)に代表される第1世代の磁性半導体が示す局在スピントロニクスの相互作用による「負の磁気抵抗効果」や「光学吸収端の磁気的赤色移行」が話題を集めた。しかし、キュリー温度の低さと、試料作製の困難さから実用的なデバイスには繋がらなかった。その後、1980年代になると、第2世代の磁性半導体としてCd_{1-x}Mn_xTeが研究された。光学吸収端付近に大きな磁気光学効果を示すため、光アイソレータ材料として検討された。1990年代になり、In_{1-x}Mn_xAs、Ga_{1-x}Mn_xAsなどMn添加のIII-V族磁性半導体が関心を集め、磁性の電気的制御など多くの興味深い基礎研究が行われた。強磁性の起源について遍歴電子が局在スピントロニクスをそろえて回るRKKY型の相互作用が提唱されたが、最近の研究では、不純物準位が関与したハーフメタ

ルとしての解釈が主流になりつつある。キュリー温度の低さや、低温成長に起因する結晶性の悪さが実用を阻んでいた。2000年になり、いくつかの室温強磁性半導体が見出されたが、基礎研究の段階にとどまっている。

1990年代に、半導体ヘテロ構造界面における2次元電子ガスを用いたスピントロニクスFETが提案された⁽⁵⁾。強磁性金属電極からのスピントロニクス注入、ラショバ効果を用いたスピントロニクス軌道相互作用のゲート電界制御などの新しい概念が持ち込まれた。各要素技術の基礎研究は進んだが、提案どおりのスピントロニクスFETは未だに実現していない。

2.2 GMRの登場がスピントロニクスを変えた

スピントロニクスのイノベーションは、1988年Fertら⁽⁶⁾、Grünbergら⁽⁷⁾の磁性金属/非磁性金属ハイブリッド構造における巨大磁気抵抗効果(GMR)によって開かれた。数年のうちにGMRは、IBMのグループ⁽⁸⁾によりスピントロニクスバルブとしてハードディスクの高密度化に貢献した。これにより、人類はコイルを用いて効率よく磁気情報を電気信号に変換する手段を得たのである。

次いで、宮崎ら⁽⁹⁾、および、Mooderaら⁽¹⁰⁾が独立に、室温におけるトンネル磁気抵抗効果(TMR)を発見し、新たな不揮発性メモリ素子MRAMを生むきっかけとなった。

さらに、TMRは、MgOをトンネル障壁に採用する湯浅ら⁽¹¹⁾およびParkin⁽¹²⁾らの研究によって大幅な改善が得られ大きく進展した。MgOバリアTMR素子はHDDの磁気ヘッド用のセンサーのほとんどに使われている。

2.3 スピントロニクスの応用

これに次ぐ革新的展開は、スピントロニクス(STM)を用いた磁化反転現象の理論的予言⁽¹³⁾⁽¹⁴⁾、と実験的検証⁽¹⁵⁾によりたらされた。スピントロニクスの角運動量を強磁性電極の磁気モーメントに受け渡す現象を直接利用するSTT-MRAMは、磁界発生用の電流線が不要であるため、DRAMをしのぐ高密度集積も可能となりサンプル出荷にまで至った。人類は、ついに、コイルなしに電気信号を磁気情報を変換する道を手にしたのである。STTはさらにスピントロニクス発振子(STO)という超小型発振子や、スピントロニクスダイオード(STD)など、高周波スピントロニクスの分野を切り開いた。STTでは電流を流すのでジュール熱の発生を免れない。最近になり、電流の代わり

に電圧を用いて磁気を制御する研究も進んできた⁽¹⁶⁾。

3. スピントロニクスの物理とデバイス

3.1 巨大磁気抵抗素子⁽¹⁷⁾

Fert, Grünbergらが見出した巨大磁気抵抗効果 (GMR) は、強磁性体(F)/非磁性体(N)/強磁性体(F) の構造をもち、強磁性電極材料としてはFe、非磁性材料としてはCrが使われた。図1は電流が面内を流れるCIP (current-in-plane)-GMRの原理である。F層同士の磁化が平行なら多数スピニ電子は散乱を受けず、少数スピニ電子のみ散乱され低抵抗である。隣り合うF層の磁化が反平行だと両スピニの電子とも散乱を受けるので高抵抗である。

その後、IBMで開発されたGMRを用いたスピニバルブ素子は、図2のようにフリー層/非磁性層/ピン止め層からなっている。磁化のピン止めには、反強磁性との交換結合が使われた⁽⁸⁾。強磁性体としては、当初パーマロイ FeNiが使われ、その後、磁化の最も大きいとされる合金 CoFeが用いられた。非磁性体としてはCuが使われる。また、交換結合のための反強磁性層としてRuを強磁性体で挟んだCoFe/Ru/CoFeという合成反強磁性構造(SAF)が使われる。

3.2 トンネル磁気抵抗素子

磁性と伝導の関係にさらなるブレークスルーをもたらしたのは、宮崎による1995年の磁気トンネル接合 (MTJ) における室温でのトンネル磁気抵抗効果 (TMR) の発見で、MR比は18%に及んだ⁽⁹⁾。

TMRは図3に示すように強磁性体のバンド構造を使って説明される。フェルミ面における状態密度が上向きスピニと下向きスピニとで異なる。両電極のスピニが平行だと状態密度の大きな状態間の電子移動により低抵抗になる。一方、反平行では状態密度の大きな状態と小さな状態の間

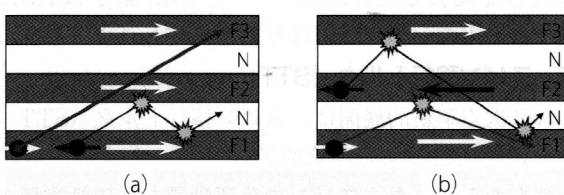


図1 CIP-GMRの原理

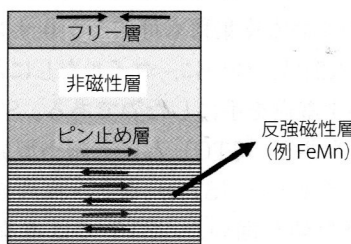


図2 スピニバルブの仕組み

の移動のため高抵抗になる。

3.3 MgOバリアTMR素子

2004年、TMRは革命的なブレークスルーを迎える。湯浅らはそれまで用いられてきたAl₂O₃に代えてMgO単結晶層をトンネル障壁に用いることで、200%におよぶ大きなTMR比を実現した。その後もTMRは図4のように伸び続け、最近では600%に達した⁽¹⁸⁾。

湯浅らは、JSTさきがけの研究者としてFe(001)/MgO(001)/Fe(001)のエピタキシャル成長に取り組み、トンネル層の乱れがほとんどない構造を得た⁽¹¹⁾。その後、キヤノンアネルバの研究者との共同研究で、CoFeB/MgO/CoFeB構造を用いて量産に成功、現在ほとんどのHDD読み取りヘッドにこの技術が使われている。

3.4 超高密度HDDヘッド用CPP-GMRヘッド

2 Tb/in²を超える次世代高密度HDD用の磁気読み取りヘッドには、図5に示すように、MR比が高く、かつ0.1 Ωμm²以下の低抵抗をもつ材料が要求される⁽¹⁹⁾。この目的にかなう素子として、CPP(current-perpendicular-to-plane)-GMRが研究されている。CPP-GMR素子とは、電流を層に垂直に流す配置での巨大磁気抵抗素子である。

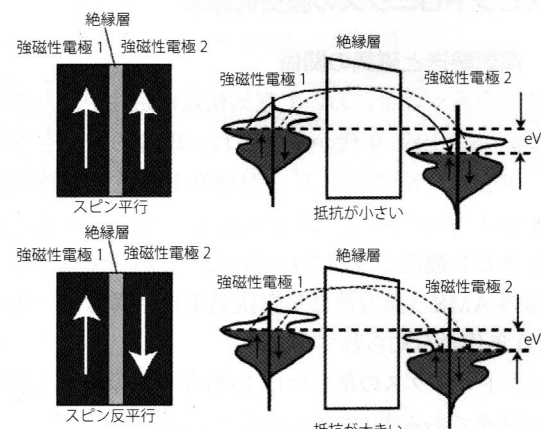


図3 TMRの原理

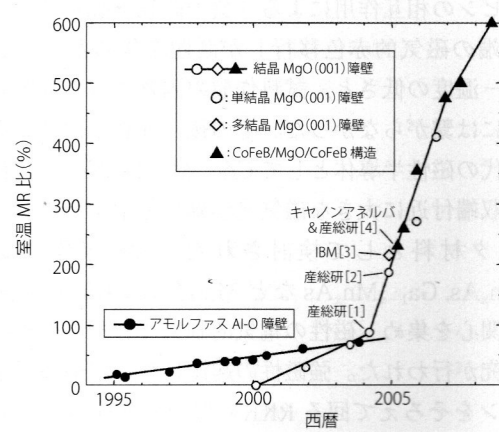


図4 トンネル磁気抵抗比の経緯⁽¹⁸⁾

図6に示すように、CIP素子では、電流を流す距離が数μmであるのに対し、CPP素子の電流パスの長さは数10 nmに過ぎず、抵抗が1/100になる。しかし、従来材料では、MR比が小さく要求される特性を満たさない。MR比は対向する二つの強磁性電極のスピン偏極率の積に比例するので、高いMR比を得るには強磁性体のスピン偏極率が高くななければならない。

3.5 高いスピン偏極率を目指すハーフメタル⁽²⁰⁾

高いスピン偏極率を持つ材料としてハーフメタルが研究されている。ハーフメタルにおいては、一方のスピンバンドにフェルミ面が存在し、もう一方のスピンバンドにフェルミ準位付近にバンドギャップが存在する。このため、理想的には100%のスピン偏極率が生じる。ハーフメタルとしては、CrO₂、Fe₃O₄、LSMO、ハーフホイスラー合金NiMnSbなどが知られているが、GMRの電極として最もよく研究されているのがCo₂FeAlなどのフルホイスラー合金である。

結晶構造は、本来、図7のL₂₁のように、X(=Coなど)、Y(=Fe, Mnなど)、Z(=Al, Siなど)の3つの副格子が規則正しく構造を作っているが、ときにB₂のようにYとZの規則が崩れたり、あるいはA₂のようにX, Y, Zの秩序がなくなったりする。ハーフメタルになるのは、L₂₁またはB₂のみである。

ホイスラー合金をTMR電極として用いる多くの試みが

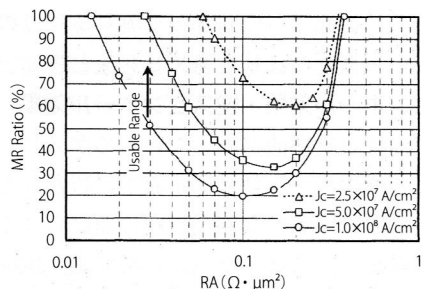


図5 次世代磁気読み取りヘッドに求められる特性⁽¹⁹⁾

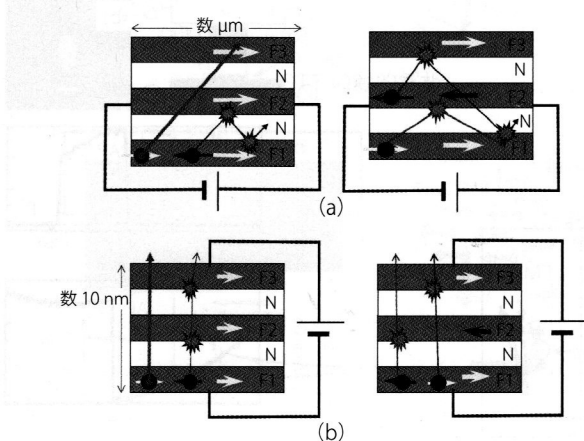


図6 (a) CIP-GMRと(b) CPP-GMR

行われた。図8に示すように実際に高いTMRが得られるようになったのは、精密な結晶構造制御が行われるようになつた2006年頃からである。今ではMgO絶縁層を用いて1,000%を超えるTMRが報告されている⁽²¹⁾。

3.6 MRAMからSTT-MRAMまで⁽²²⁾

MRAM(magnetic random access memory)とは、記憶素子に磁性体を用いた不揮発性メモリの一種である。図9に示すようにTMR素子を用いた磁気トンネル接合(MTJ)と半導体CMOSが組み合わされた構造となっている。

直交する二つの書き込み線に電流を流し、得られた磁界が反転磁界H_Kを超えると、磁気状態を書き換えることができる。MRAMは、アドレスアクセスタイムが10 ns台、サイクルタイムが20 ns台とDRAMの5倍程度でSRAM並み高速な読み書きが可能である。また、フラッシュメモリの10分の1程度の低消費電力、高集積性が可能などの長所があり、SRAM(高速アクセス性)、DRAM(高集積性)、フラッシュメモリ(不揮発性)のすべての機能をカバーする「ユニバーサルメモリ」としての応用が期待されている。

しかし、電流で磁界を発生している限りは高集積化が難しいという欠点がある。この問題を解決したのがスピントロニクスの分野としてスピント注入磁化反転のアイデアがSlonczewski⁽¹³⁾およびBerger⁽¹⁴⁾によって提案され、実験的に検証された。図10に示すように、強磁性電極FM1からスピント注入した電流を、傾いた磁化をもつ対極強磁性電極FM2に注入すると、注入された電子のスピントがFM2

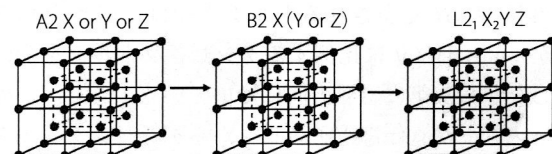


図7 ホイスラー合金の三つの結晶構造

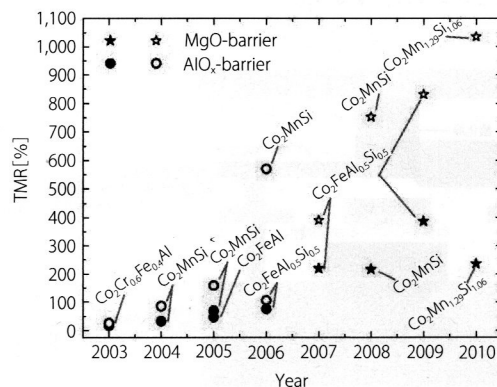


図8 ホイスラー合金のTMR⁽²¹⁾

の向きに傾けられるときの反作用として、スピニ角のトルクが対極電極の磁化に移行して、それがきっかけで磁化反転をもたらすのである。

スピニ注入磁化反転を実現するための素子は図 11 (a) のような非常に小さな断面 ($60\text{ nm} \times 130\text{ nm}$) を持つ柱状の CPP-GMR 構造である。素子の電気抵抗は、図 11 (c) に示されるように二つの Co 層の磁化が平行 (P) であるか反平行 (AP) であるかに応じて明瞭な抵抗変化が生じる。図 11 (d) は電流を変化させたとき、電気抵抗が変化する様子を示している。+2 mA 程度で平行配置から反平行配置にスイッチする様子が電気抵抗ジャンプとして現れている。正の電流で反平行配置を、負の電流で平行配置を実現できる⁽²³⁾。

開発当初は 10^8 A/cm^2 という大電流密度を必要としたので実用は無理であろうと言われたが、研究開発が進み CoFeB/MgO/CoFeB 垂直磁化の TMR 素子を用いて実用可能な電流密度 3.8 MA/cm^2 にまで低減することができるようになった⁽²⁴⁾。

従来の MRAMにおいては、電流が作る磁界を使って磁化反転を誘起して記録するので、微細化すると電流密度が増加し、電力消費が増えることが集積化のネックであった。これに対し、STT を使うと、MTJ 素子に電流を流すことによって磁化反転でき、微細化した場合には電流密度も小さくなるので、高集積化することが可能になった。STT を用いた MRAM は STT-MRAM と呼ばれる。

伝導電子のもつわずかなスピントルクだけで、相手の磁性体の磁気モーメントを反転できるのは、磁気モーメントの歳差運動の力を使うからである。図 12 に示すように、磁性体の磁気モーメント M は、外部磁界 H_{eff} を加えるとその外積 $M \times H$ で表されるトルクを受けて歳差運動を始めるが、 $M \times dM/dt$ に比例するダンピングトルクを受けて回転しながら次第に磁界方向に傾いていく。もし、この磁気モーメントが、伝導電子スピニからダンピングトルクを丁度打ち消すような方向のスピニ移行トルクを受け取ると、歳差運動はいつまでも続く。これが、スピニトルク振動子 (STO) の原理である。

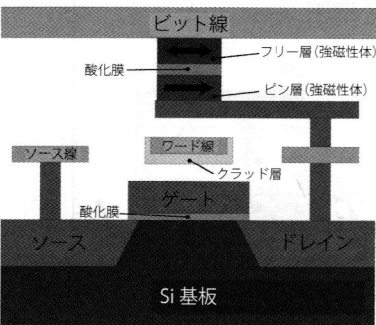


図 9 MRAM の模式図

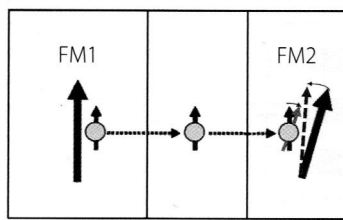


図 10 STT の原理図

スピニ移行トルクがさらに大きくなると歳差運動が増幅され、ついには反転してしまう。このように歳差運動の助けを借りて反転するので少ない電流での磁化反転が可能なのである。このようなスピニの動的な振る舞いは角運動量の移行を考慮したランダウ・リフシツ・ギルバート (LLG) 方程式によってよく説明できる。

最近になり、スピニ軌道トルク (SOT) 磁化反転を用いた MRAM の開発が進められ、注目を集めている⁽²⁵⁾。

4. スピニ流の物理とデバイス⁽²⁶⁾

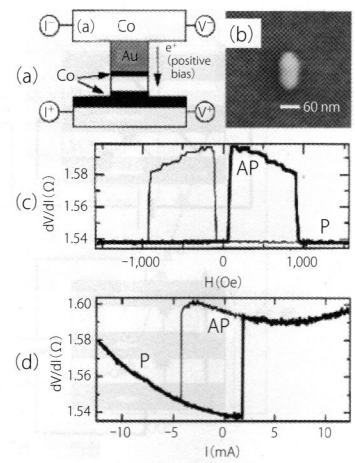
4.1 スピニ流とは

図 13 に示すように、強磁性体と非磁性体の接合を考え、強磁性体から非磁性体に向かって電子を流すとしよう。 \uparrow スピニをもつ電子が強磁性体から非磁性体へ移動すると、非磁性体の中では本来 \uparrow スピニと \downarrow スピニの電子の数は等しいはずなので、界面からスピニ拡散長 λ_s 離れたところまでは \uparrow スピニの数と \downarrow スピニの数にアンバランスな状態が生じる。このことをスピニ注入が起きているといふ。このような電流に伴うスピニの流れを電流スピニ流という。スピニ注入があると非磁性体にはスピニ蓄積が起きている。

もし、図 14 に示すように、 \uparrow スピニの電子が右方向に進み \downarrow スピニの電子が左方向に進むとすれば、電荷の流れとしての電流は流れないが、スピニだけを見ると、 \uparrow スピニは右側に、 \downarrow スピニは左側に流れるので、 $J_s = J_\uparrow - J_\downarrow$ で定義されるスピニ流は右に向かって流れる。このように電流を伴わないスピニの流れを純スピニ流と呼ぶ。

4.2 スピニホール効果・逆スピニホール効果

スピニ流の性質を端的に表しているのがスピニホール効果である。普通のホール効果は磁界下に置かれたキャリアがローレンツ力で電流に垂直な方向に曲げられる効果である。これに対して、スピニホール効果では、電流が流れる

図 11 スピニ注入磁化反転⁽²³⁾

だけで、図15左図に示すように、スピントロニクスによって、 \uparrow スピンと \downarrow スピンの流れが左右に分離され、電流 j_q に垂直の方向にスピントロニクスを生じる。

スピントロニクス効果は1971年にDyakonovら⁽²⁷⁾によって提案され、2003年に村上ら⁽²⁸⁾がn-GaAsにおいて理論的に予言した。一方、スピントロニクス効果とは逆に、スピントロニクス相互作用の大きな導体にスピントロニクス流を流すと、垂直方向に電界が生じることが斎藤らにより発見され⁽²⁹⁾、逆スピントロニクス効果と名付けられた。図15右図のようにx方向にスピントロニクス流 j_s があると、 \uparrow スピンは左に、 \downarrow スピンは右に曲げられる。その結果、スピントロニクス流と垂直方向に電流 j_q が生じる。

非局所配置でのスピントロニクスの検出、熱スピントロニクスによるスピントロニクスゼーベック効果など、スピントロニクス流の検出にこの逆スピントロニクス効果が果たした役割は大きい。

4.3 スピントロニクスゼーベック効果⁽³²⁾

図16の上の図は、通常の熱電対で、温度勾配のもとにおかれた二つの導体が異なるゼーベック係数をもつときに、温度差に依存する電圧が得られる。一方、下の図では、温度差をつけた1本の導体中で \uparrow スピンは右方向に流れ、 \downarrow スピンは左方向に流れている。従って電荷の流れは打ち消され、熱勾配の方向にスピントロニクス流のみが流れる。このスピントロニクス流を逆スピントロニクス効果で検出すれば、電圧として取り出せる。これがスピントロニクスゼーベック効果である。内田らは、温度勾配をつけたパーマロイにPtを付けることによってこの効果を初めて観測した。

4.4 スピントロニクスの整流性とスピントロニクスメカニクス

電流は時間反転すると逆方向に流れるが、スピントロニクス流は

時間反転対称性がないので変わらない。物質のランダムな運動をスピントロニクス流として一方向に整えれば、外部から大きなエネルギーを加えることなく、別のエネルギーに変換したり、情報処理したりできるようになる。

齊藤らは、MEMSにスピントロニクスを取り入れたデバイスの設計にも着手した。メカニクスとスピントロニクスとの融合であることから、既存のスピントロニクスをさらに広げたスピントロニクスメカニクスと呼べる新たな研究領域を創造している。

齊藤らは液体金属を流すだけで電気エネルギーを取り出せるという、驚くべき現象を発見した⁽³¹⁾。数百μmの細い管に液体金属を流すと、管の壁付近で液体金属中に渦運動ができる。この渦が磁界として働いてスピントロニクス流が生成され、100ナノボルトの電気信号が得られた。

5. そのほかのスピントロニクスの話題

5.1 カーボン・スピントロニクス

カーボンナノチューブ、グラフェンなどナノカーボンにスピントロニクスが注入できることは白石らによって初めて実証された。炭素は軽元素なのでスピントロニクス相互作用が小さく、理想的には長いスピントロニクス拡散長が期待されたが、現在までのところ数10μmにとどまっている。また、分子におけるスピントロニクスについては今後の研究課題である。詳細は白石による解説⁽³²⁾を参照されたい。

5.2 ダイヤモンド・スピントロニクス

ダイヤモンドにおける炭素空孔(V)と窒素原子(N)で構成されたNV-中心は、ダイヤモンドの広いバンドギャップにより深い欠陥準位を形成しているため、室温で動作する有望な量子情報デバイスとして注目を集めてい

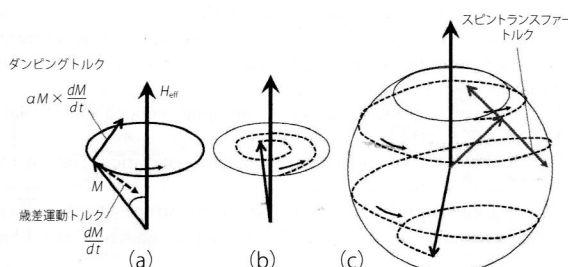


図12 STTの動的解析

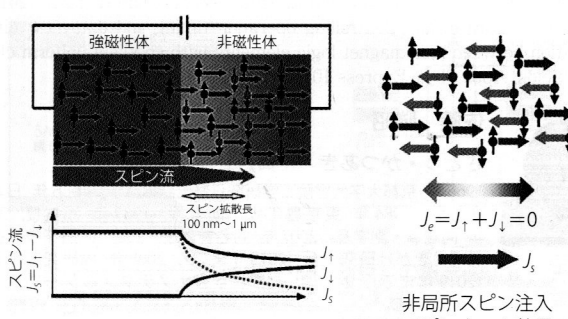


図13 電流が運ぶスピントロニクス

図14 電流を伴わないスピントロニクス

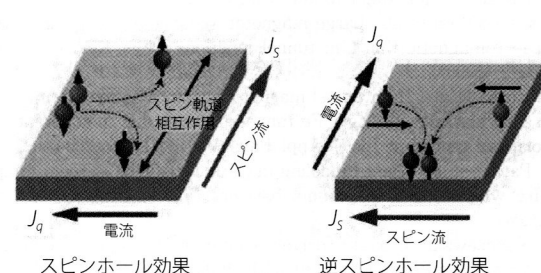


図15 スピントロニクス効果と逆スピントロニクス効果

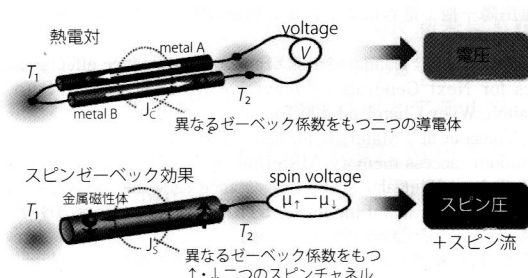


図16 スピントロニクスゼーベック効果と通常の熱電対との比較⁽³⁰⁾

る。水口は、NV- 中心が 5 qubit の操作を可能にするために結合する方法だけでなく、ダイヤモンドの p-i-n 接合で構成される特別設計の LED を使用して、室温動作する単一光子源を実現する方法を見出した⁽³³⁾。

ダイヤモンド中の電子スピンは、数十ナノメートル程度の局所領域に閉じ込めることができ、磁界や電界や温度を高い精度で検出できることから、ナノスケールの物質構造や生体構造を高精度でイメージングできるとされる量子センサーへの応用が期待されている。

5.3 ニューロモルフィック・スピントロニクス

ヒトの脳でのニューロンとシナプスによる情報処理を模倣したニューロモルフィック・コンピューティングは、脳が得意とする認識や学習といった膨大で曖昧・不完全な情報の処理を低消費電力で高速に実行できると期待されてい

文 献

- (1) K. Sato, E. Saitoh eds. : "Spintronics for Next Generation Innovative Devices" Wiley (2015).
- (2) A. Fert and I. A. Campbell : Two-current conduction in nickel, Phys. Rev. Lett. Vol.21, p.1190 (1968).
- (3) R. Karplus and J. M. Luttinger : Hall effect in ferromagnetics, Phys. Rev. 95, 1154 (1954).
- (4) K. Sato : Crystal growth and characterization of magnetic semiconductors, "Advances in Crystal Growth Research", eds. Ki. Sato et al. Elsevier p.303 (2001).
- (5) S. Datta, and B. Das : Electronic analog of the electro-optic modulator, Appl. Phys. Lett. Vol.56, p.665 (1990).
- (6) M. N. Baibich et al. : Giant magnetoresistance of (001) Fe/(001) Cr magnetic superlattices, Phys. Rev. Lett. Vol.61, 2472 (1988).
- (7) G. Binasch et al. : Enhanced magnetoresistance in layered magnetic structures with antiferromagnetic interlayer exchange, Phys. Rev. B Vol.39, p.4828 (1989).
- (8) B. Dieny et al. : Giant magnetoresistive in soft ferromagnetic multilayers, Phys. Rev. B Vol.43, p.1297 (1991).
- (9) T. Miyazaki et al. : Giant magnetic tunneling effect in Fe/Al₂O₃/Fe junction, J. Magn. Magn. Mater. Vol.139, p.L231 (1995).
- (10) J. C. Moodera et al. : Large magnetoresistance at room temperature in ferromagnetic thin film tunnel junctions, Phys. Rev. Lett. Vol.74, p.3273 (1995).
- (11) S. Yuasa et al. : High tunnel magnetoresistance at room temperature in fully epitaxial Fe/MgO/Fe tunnel junctions due to coherent spin-polarized tunneling, Jpn. J. Appl. Phys. Vol.43 p.L558 (2004).
- (12) S. Parkin et al. : Giant tunneling magnetoresistance at room temperature with MgO (100) tunnel barriers, Nature Mater. Vol.3, p.862 (2004).
- (13) J. Slonczewski : Current-driven excitation of magnetic multilayers, J. Magn. Magn. Mater. Vol.159, p.L1 (1996).
- (14) L. Berger : Emission of spin waves by a magnetic multilayer traversed by a current, Phys. Rev. B Vol.54, p.9353 (1996).
- (15) E. B. Myers et al. : Current-induced switching of domains in magnetic multilayer devices, Science Vol.285, p.867 (1999).
- (16) 塩田陽一他 : 電界によるスピニ制御技術, 日本磁気学会誌 Vol.8, p.4 (2013).
- (17) K. Takanashi : Fundamentals of magnetoresistance effects, "Spintronics for Next Generation Innovative Devices" eds. K. Sato and E. Saitoh, Wiley Chap.1 p.1 (2015).
- (18) S. Yuasa et al. : Materials for spin-transfer-torque magnetoresistive random-access memory, MRS Bulletin Vol.43, p.352 (2018).
- (19) M. Takagishi et al. : Magnetoresistance ratio and resistance area design of CPP-MR film for 2-5Tb/in² read sensors, IEEE Trans. Magn. Vol.46, p.2086 (2010).
- (20) Y. K. Takahashi and K. Hono : Spintronics materials for high spin polarization, "Spintronics for Next Generation Innovative Devices" eds. K. Sato and E. Saitoh, Wiley, Chap.2 p.23 (2015).
- (21) T. Graf et al. : Simple rules for the understanding of Heusler compounds, Prog. Sol. St. Chem. Vol.39 p.1 (2011).
- (22) S. Fukami et al. : Domain wall motion device for nonvolatile memory and logic—Size dependence of device properties, IEEE Trans Magn. Vol.50, p.3401006 (2014).
- (23) F. J. Albert et al. : Spin-polarized current switching of a Co thin film nanomagnet, Appl. Phys. Lett. Vol.77, p.3809 (2000).
- (24) S. Ikeda et al. : A perpendicular-anisotropy CoFeB-MgO magnetic tunnel junction, Nature Mater. Vol.9, p.721 (2010).
- (25) S. Fukami et al. : Magnetization switching by spin-orbit torque in an antiferromagnet-ferromagnet bilayer system, Nature Mater. Vol.15, p.535 (2016).
- (26) K. Uchida and E. Saitoh : Spin current, "Spintronics for Next Generation Innovative Devices" eds. K. Sato and E. Saitoh, Wiley, Chap.3 p.43 (2015).
- (27) M. I. Dyakonov et al. : Possibility of orienting electron spins with current, JETP Lett. Vol.13 p.467 (1971) ; Current-induced spin orientation of electrons in semiconductors, Phys. Lett. A Vol.35, p.459 (1971).
- (28) S. Murakami et al. : Dissipationless quantum spin current at room temperature, Science Vol.301, p.1348 (2003).
- (29) E. Saitoh et al. : Conversion of spin current into charge current at room temperature : Inverse spin-Hall effect, Appl. Phys. Lett. Vol.88, p.182509 (2006).
- (30) K. Uchida et al. : Observation of the spin Seebeck effect, Nature Vol.455, p.778 (2008).
- (31) R. Takahashi et al. : Spin hydrodynamic generation, Nature Phys. Vol.12, p.52 (2016).
- (32) M. Shiraishi : Carbon-based spintronics, "Spintronics for Next Generation Innovative Devices" eds. K. Sato and E. Saitoh, Wiley, Chap.9, p.155 (2015).
- (33) N. Mizuochi : Quantum information processing using nitrogen-vacancy centers in diamond, "Spintronics for Next Generation Innovative Devices" eds. K. Sato and E. Saitoh, Wiley, Chap.12, p.227 (2015).
- (34) H. Nomura et al. : Controlling operation timing and data flow direction between nanomagnet logic elements with spatially uniform clock fields, Appl. Phys. Express 10, 123004 (2017).

る。しかし、半導体素子を用いた従来型計算機では、膨大な演算量となり消費電力も膨大になる。半導体素子を置き換える次世代演算素子として、野村らは微小磁性体を用いた磁性論理演算素子を開発している⁽³⁴⁾。

6. おわりに

このように、スピントロニクスは、beyond-CMOS の新しい革新的次世代デバイス技術の芽として熱い視線を浴びている。スピニ科学は、ナノという舞台を得て、大きく育ちつつある。強磁性体における異常ホール効果、スピニホール効果、トポロジカル絶縁体などは、ベリー位相、ベリー接続という量子論における位相の概念で説明される。理論と実験がかみ合って、新しい世界が開かれる予感を感じる。

